— ФИЗИКОХИМИЯ PACTBOPOB —

УДК 542.61:546.65/66

ЭКСТРАКЦИОННЫЕ СВОЙСТВА ДИФЕНИЛ{[N-(2-ДИФЕНИЛ-ФОСФИНИЛЭТИЛ)-N-АЛКИЛ]КАРБАМОИЛМЕТИЛ}ФОСФИНОКСИДОВ В АЗОТНОКИСЛЫХ СРЕДАХ

© 2020 г. А. Н. Туранов^{а, *}, В. К. Карандашев^b, О. И. Артюшин^c, А. С. Перегудов^c, В. А. Хвостиков^b, Н. А. Бондаренко^d

^аИнститут физики твердого тела РАН, ул. Академика Осипьяна, 2, Черноголовка, Московская обл., 142432 Россия ^bИнститут проблем технологии микроэлектроники и особо чистых материалов РАН, ул. Академика Осипьяна, 6, Черноголовка, Московская обл., 142432 Россия

^сИнститут элементоорганических соединений им. А.Н. Несмеянова РАН, ул. Вавилова, 28, Москва, 119991 Россия ^dИнститут химических реактивов и особо чистых химических веществ Национального исследовательского центра "Курчатовский институт", ул. Богородский вал, 3, Москва, 107076 Россия

*e-mail: turanov@issp.ac.ru
Поступила в редакцию 09.12.2019 г.
После доработки 30.12.2019 г.
Принята к публикации 30.01.2020 г.

Изучена экстракция микроколичеств U(VI), Th(IV) и P39(III) из растворов HNO_3 растворами дифенил $\{N-(2$ -дифенилфосфинилэтил)-N-алкил $\}$ карбамоил-метил $\}$ фосфиноксидов в органических растворителях. Определена стехиометрия экстрагируемых комплексов, рассмотрено влияние строения экстрагента, природы органического растворителя и состава водной фазы на эффективность извлечения U(VI), Th(IV) и P39(III) в органическую фазу. Показано, что модификация оксида дифенил(диалкилкарбамоилметил)фосфина путем введения в амидную часть его молекулы дополнительной координирующей фосфорильной группы приводит к увеличению экстракционной способности по отношению к P39(III), ее снижению по отношению к Th(IV) и незначительному влиянию на степень экстракции U(VI) из азотнокислых растворов. Эффективность извлечения U(VI), Th(IV) и P39(III) в органическую фазу значительно возрастает в присутствии ионной жидкости – $\mathit{fuc}[$ (трифторметил)сульфонил]имида 1-бутил-3-метилимидазолия.

Kлючевые слова: экстракция, уран(VI), торий(IV), редкоземельные элементы(III), карбамоилметил-фосфиноксиды, ионные жидкости

DOI: 10.31857/S0044457X20060240

ВВЕДЕНИЕ

Экстракционные методы широко используются в процессах переработки отработанного ядерного топлива для извлечения, концентрирования и разделения актинидов и лантанидов [1]. Высокой экстракционной способностью по отношению к этим элементам обладают полидентатные нейтральные фосфорорганические соединения [2-9], в том числе диарил(диалкилкарбамоилметил)фосфиноксиды (КМФО). Влияние строения КМФО на их экстракционную способность и селективность достаточно подробно изучено [10— 15]. Установлено, что введение алкильных заместителей в метиленовый мостик молекулы КМФО приводит к существенному повышению растворимости экстрагента в органических растворителях, однако сопровождается снижением его экстракционной способности по отношению к U(VI), Am(III) и Eu(III). При этом селективность экстракции U(VI) и

Am(III) из азотнокислых растворов возрастает [12]. Введение в метиленовый мостик молекулы КМФО фосфорильных, карбамоильных [16] или пиридин-N-оксидных [17] функциональных групп не приводит к увеличению экстракционной способности таких модифицированных КМФО по отношению к РЗЭ(III) и Am(III). Другим путем модификации КМФО является введение дополнительных функциональных групп, обладающих потенциальной возможностью комплексообразования с ионами металлов, в амидную часть молекулы. Показано, что объединение в одной молекуле двух бидентатных фрагментов Ph₂P(O)CH₂C(O)NH- через амидный атом азота ди- или триэтиленгликолевой цепочкой [18], а также алкиленовым или ариленовым мостиком [19] приводит к заметному увеличению эффективности экстракции U(VI), Th(IV) и РЗЭ(III) из азотнокислых растворов.

В настоящей работе исследована экстракционная способность модифицированных КМФО Ia—IB, содержащих в амидной части молекулы дополнительную координирующую группу P=O. Для этого рассмотрены некоторые закономерности распределения ионов U(VI), Th(IV) и P3Э(III) между водными растворами HNO₃ и

растворами соединений **Ia—IB** в органических растворителях в сравнении с КМФО **II**, а также изучена эффективность экстракции U(VI), Th(IV) и P3Э(III) из азотнокислых растворов в присутствии ионной жидкости (**ИЖ**) *бис*[(трифторметил)сульфонил]имида 1-бутил-3-метилимидазолия.

ЭКСПЕРИМЕНТАЛЬНАЯ ЧАСТЬ

Соединения Ia-Ib получены реакцией амидирования дифенилфосфинилуксусной кислоты N-(2-дифенилфосфинилэтил)-N-алкиламинами. Содержание основного вещества >95%.

Дифенил $\{N-(2-дифенилфосфинилэтил)-N-бу$ тил карбамоилметил фосфиноксид (Іа). Температура плавления 181.5—182°C (этилацетат). Спектр ЯМР 1 Н (600.22 МГц, δ , м.д., J, Гц, CDCl₃), мажорный конформер (М) 72%, минорный конформер (m) 28%: 2.30-2.39 (M, 2H, $H_2C(3)$ (M)); 2.76 (c, 3H, $H_3C(4)N(m)$; 2.77–2.85 (M, 2H, $H_2C(3)(m)$); 3.01 (c, 3H, $H_3C(4)N(M)$); 3.42 (д, 2H, $H_2C(1)(M)$, ${}^2J_{HP}$ 15.1); 3.54* (дт, 2H, $H_2C(2)N$ (M), ${}^3J_{HH}$ 7.9, ${}^3J_{HP}$ 7.4); 3.56* (д, 2H, $H_2C(1)$ (m), ${}^2J_{HP}$ 15.0); 3.77 (дт, 2H, $H_2C(2)N$ (m), ${}^3J_{HH}$ 7.9, ${}^3J_{HP}$ 7.6); 7.38–7.56 (M, 8H, Mema-CH(M) + 8H, Mema-CH(m) + 4H, napa-CH(M) + 4H, napa-CH(m); 7.68–7.77 (M, 8H, opmo-CH (m)); 7.74—7.85 (м, 8H, opmo-CH (M)). *Сигналы перекрываются. Спектр ЯМР ¹³С{¹H} (150.925 МГц, δ, м.д., *J*, Гц, CDCl₃): 27.28 (д, С3, (M), ${}^{1}J_{CP}$ 69.4); 29.08 (χ , C3 (m), ${}^{1}J_{CP}$ 68.5); 33.40 (c, C4, (m)); 36.86 (χ , C1 (m), ${}^{1}J_{CP}$ 61.4); 37.66 (c, C4 (M)); $38.29 \,(\text{д}, \text{C1 (M)}, {}^{1}J_{\text{CP}} \,60.2); 43.21 \,(\text{c}, \text{C2 (M)});$ 44.86 (c, C2 (m)); 128.59 (д, мета-С H_{PhP1} (M), ${}^{3}J_{CP}$ 12.6); 128.62 (д, мета-СН_{РhР1} (m), ${}^{3}J_{CP}$ 12.3); 128.79 (д, мета- $\mathrm{CH}_{\mathrm{PhP2}}$ (М), ${}^{3}J_{\mathrm{CP}}$ 11.8); 128.82 (д, мета- CH_{PhP2} (m), ${}^{3}J_{CP}$ 11.8); 130.61 (д, *opmo*- CH_{PhP1} (M), $^{2}J_{\text{CP}}$ 9.5); 130.66 (д, *орто*-СН_{РhP1} (m), $^{2}J_{\text{CP}}$ 9.4); 131.05 (д, *opmo*-CH_{PhP2} (m), ${}^{2}J_{CP}$ 9.7); 131.09 (д, *op*mo-CH_{PhP2} (M), ${}^{2}J_{CP}$ 9.7); 131.90 (д, napa-CH_{PhP2} (M), ${}^{4}J_{CP}$ 2.4); 132.01 (μ , napa-CH_{PhP1} (m), ${}^{4}J_{CP}$ 2.3); 132.09 (д, napa-CH_{PhP2} (m), ${}^{4}J_{CP}$ 2.7); 132.17 (д, napa-CH_{PhP2} (M), ${}^{4}J_{CP}$ 2.7); 132.58* (c*, unco-CH_{PhP1} (m)); 132.68* (c*, *unco*-CH_{PhP2} (m)); 164.74 (д, C=O (m), ${}^{2}J_{CP}$ 5.6); 165.52 (д, C=O (M), ${}^{2}J_{CP}$ 5.0); *левые

компоненты дублетов *unco*-CH, PhP1 и *unco*-CH, PhP2, правые компоненты этих дублетных сигналов перекрываются сигналами углеродных ядер *napa*-CH, PhP1 (M и m).

Спектр ЯМР 31 Р{ 1 H} (161.97 МГц, CDCl₃): δ 27.6 (P1C(1) (M)), 28.6 (P1C(1) (m)), 29.3 (P2C(3) (m)), 30.0 (P2C(3) (M)).

*Частично перекрывающиеся сигналы.

Дифенил $\{[N-(2-дифенилфосфинилэтил)-N$ бутил карбамоилметил фосфиноксид (16). Температура плавления 120-125°C (этилацетат-МЭК). Спектр ЯМР ¹H (600.22 МГц, δ, м.д., J, Гц, CDCl₃), мажорный конформер (М) 72%, минорный конформер (m) 28%: 0.80 (т, 3H, $H_3C(7)$ (m), ${}^3J_{HH}$ 7.4); $0.87 \text{ (T, 3H, H}_3\text{C(7) (M), }^3J_{\text{HH}} \text{ 7.4); 1.15 (секстет, 2H,}$ $H_2C(6)$ (m), ${}^3J_{HH}$ 7.4); 1.24 (секстет, 2H, $H_2C(6)$ (M), ${}^{3}J_{HH}$ 7.4); 1.33 (квинтет, 2H, $H_{2}C(5)$ (m), ${}^{3}J_{HH}$ 7.6); 1.43 (квинтет, 2H, $H_2C(5)$ (M), ${}^3J_{HH}$ 7.7); 2.12— $2.25 (M, 2H, H_2C(3)(M)); 2.80-2.85 (M, 2H, H_2C(3))$ (m)); 3.16 (T, 2H, $H_2C(4)N$ (m), ${}^3J_{HH}$ 7.7); 3.32 (T, 2H, $H_2C(4)N(M)$, ${}^3J_{HH}$ 7.7); 3.47* (дт, 2H, $H_2C(2)N$ (M), ${}^{3}J_{HH}$ 7.7, ${}^{2}J_{HP}$ 9.4); 3.49* (д, 2H, H₂C(1) (M+m), ${}^{2}J_{HP}$ 15.2); 3.68 (дт, 2H, $H_{2}(2)N$ (m), ${}^{3}J_{HH}$ $7.0, {}^{2}J_{HP}$ 8.8); 7.36-7.56 (M, 8H, Mema-CH (M) + 8H, мета-CH(m) + 4H, napa-CH(M) + 4H, napa-CH(m)); 7.66 (M, 8H, opmo-CH (m)); 7.76–7.88 (M, 8H, орто-СН (М)). Спектр ЯМР ¹³С{¹H} (150.925 МГц, δ , м.д., J, Гц, CDCl₃): 13.82 (c, C7 (M)); 13.84 (c, C7 (m)); 19.90 (c, C6 (M)); 20.01 (c, C6 (m)); 27.64 (д, C3 (M), ${}^{1}J_{CP}$ 68.6); 29.45 (с, C5 (m)); 29.52 $(д, C3 (m), {}^{1}J_{CP} 67.2); 31.00 (c, C5 (M)); 36.99 (д, C1)$ (m), ${}^{1}J_{CP}$ 61.7); 38.26 (χ , C1 (M), ${}^{1}J_{CP}$ 60.8); 41.04 (c, C2 (M)); 42.66 (c, C2 (m)); 45.83 (c, C4 (m)); 49.44 (c, C4 (M)); 128.54 (д, мета-С H_{PhP1} (M), ${}^{3}J_{CP}$ 12.3); 128.59 (д, мета-СН_{PhP1} (m), ${}^{3}J_{CP}$ 12.3); 128.70 (д, мета- CH_{PhP2} (M), ${}^3J_{CP}$ 11.8); 128.84 (д, мета-CH-

 $_{PhP2}^{PhP2}$ (m), $_{JCP}^{3}$ 11.9); 130.66 (д, opmo-CH_{PhP1} (M + m), $_{JCP}^{2}$ 9.5 Гц); 131.06 (д, opmo-CH_{PhP2} (m), $_{JCP}^{2}$ 9.7); 131.21 (д, opmo-CH_{PhP2} (M), $_{JCP}^{2}$ 9.9); 131.88 (д, napa-CH_{PhP1} (M), $_{JCP}^{4}$ 2.8); 131.99 (д, napa-CH_{PhP1} (m), $_{JCP}^{4}$ 2.5); 132.04 (д, napa-CH_{PhP2} (m), $_{JCP}^{4}$ 2.8); 132.10 (д, napa-CH_{PhP2} (M), $_{JCP}^{4}$ 2.6); 132.18 (д, unco-CH_{PhP1} (M), $_{JCP}^{1}$ 102.6); 132.27 (д, unco-CH_{PhP1} (m), $_{JCP}^{1}$ 107.5); 132.28 (д, unco-CH_{PhP2} (m), $_{JCP}^{1}$ 103.2); 132.56 (д, unco-CH_{PhP2} (M), $_{JCP}^{1}$ 99.2); 164.44 (д, C=O (m), $_{JCP}^{2}$ 5.7); 165.23 (д, C=O (M), $_{JCP}^{2}$ 4.9); ЯМР $_{JCP}^{3}$ 181+} (161.97 МГц, CDCl₃): $_{JCP}^{2}$ 2.7 (P1C(1) (M)), 28.2 (P1C(1) (m)), 29.2 (P2C(3) (m)), 30.5 (P2C(3) (M)).

Дифенил $\{N-(2-дифенилфосфинилэтил)-N-ок$ тил]карбамоилметил}фосфиноксид (Ів). Температура плавления 118.5—120.5°С (этилацетат). Спектр ЯМР 1 Н (600.22 МГц, δ , м.д., J, Гц, CDCl₃), мажорный конформер (М) 72%, минорный конформер (m) 28%: 0.84 (т, 3H, $H_3C(11)$ (m), ${}^3J_{HH}$ 7.0 Гц); 0.86 (т, 3H, $H_3C(11)$ (M), ${}^3J_{HH}$ 6.9); 1.05– $1.30 (M, 10H, H_2C(6)-H_2C(10) (M+m)); 1.31 (КВИН$ тет, 2H, $H_2C(5)$ (m), ${}^3J_{HH}$ 7.5); 1.43 (квинтет, 2H, $H_2C(5)$ (M), ${}^3J_{HH}$ 7.4); 2.15–2.25 (M, 2H, $H_2C(3)$ P2 (M)); 2.78-2.88 (M, 2H, $H_2C(3)P2$ (m)); 3.14 (T, 2H, $H_2C(4)N$ (m), ${}^3J_{HH}$ 7.6); 3.31 (T, 2H, $H_2C(4)N$ (M), $^{3}J_{HH}$ 7.7); 3.48* (дт, 2H, H₂C(2)N (M)), $^{3}J_{HH}$ 8.0); 3.51^* (д, 2H, $H_2C(1)P1$ (M)), ${}^2J_{HP}$ 15.3); 3.70 (дт, 2H, $H_2C(2)N$ (m), ${}^3J_{HH}$ 8.1, ${}^2J_{HP}$ 8.1); 7.34–7.55 (M, 8H. mema-CH(M) + 8H. mema-CH(m) + 4H. napa-CH(M) + 4H, napa-CH(m); 7.64–7.72 (M, 8H, opmo-CH (m)); 7.74-7.88 (м, 8H, орто-CH (M)). Спектр ЯМР 13 С{ 1 H} (150.925 МГц, δ , м.д., J, Гц, $CDCl_3$): 14.10 (c, C11 (M+m)); 22.59 (c, C10 (M)); 22.61 (c, C10 (m)); 26.64 (c, C6 (M)); 26.78 (c, C6 (m)); 27.40 (c, C5 (m)); 27.63 (μ , C3 (M), μ _{CP} 69.1); 28.95 (c, C5 (M)); 29.15 (c, C8 (M+m)); 29.28 (c, C7 (M)); 29.32 (c, C7 (m)); 29.66 (π , C3 (m), ${}^{1}J_{CP}$ 67.7); 31.70 (c, C9 (M)); 31.74 (c, C9 (m)); 36.98 (д, C1 (m), ${}^{1}J_{\text{CP}}$ 60.6); 38.26 (д, C1 (M), ${}^{1}J_{\text{CP}}$ 60.9); 41.01 (с, C2 (M)); 42.64 (c, C2 (m)); 46.09 (c, C4 (m)); 49.67 (c, C4 (M)); 128.51 (д, мета-СН_{PhP1} (M), ${}^{3}J_{CP}$ 12.3); 128.58 (д, мета-СН_{PhP1} (m), ${}^{3}J_{CP}$ 12.1); 128.69 (д, мета-СН_{РhP2} (M), ³J_{CP} 11.8); 128.83 (д, мета-СН- P_{PhP2} (m), ${}^{3}J_{CP}$ 11.8); 130.66 (д, *opmo*-CH_{PhP1} (M+m), $^{2}J_{\text{CP}}$ 9.6); 164.41 (д, C=O (m), $^{2}J_{\text{CP}}$ 5.5); 165.22 (д, C=O (M), ${}^2J_{CP}$ 5.0). Спектр ЯМР ${}^{31}P\{{}^{1}H\}$ (161.97 МГц, δ , м.д., J, Гц, CDCl₃): 27.8 (P1C(1) (M)), 28.2 (P1C(1) (m)), 29.2 (P2C(3) (m)), 30.5 (P2C(3) (M)).

Спектры ЯМР 1 Н и 13 С{ 1 Н} растворов исследованных соединений в CDCl $_{3}$ были зарегистрированы на спектрометре Avance TM 600 фирмы Bruker с использованием инверсного датчика BBIZ. Рабочая частота по протонам, ядрам 13 С и 31 Р состав-

ляет 600.22, 150.925 и 242.974 МГц соответственно. Химические сдвиги протонов и ядер ¹³С были определены относительно остаточного сигнала хлороформа (7.27 м.д.) и сигнала CDCl₃ (77.0 м.д.) и пересчитаны к ТМС соответственно. Значения химических сдвигов в спектрах ЯМР ³¹Р получены относительно внешнего стандарта – 85%-ной Н₃₋ PO_4 . Для отнесения сигналов в спектрах ЯМР 1 Н и ¹³С применены двумерные гетероядерные (¹Н- 13 С и $^{1}H-^{15}N$) корреляционные методики из стандартной библиотеки программ фирмы Bruker c использованием импульсных полевых градиентов gs-HSQC и gs-HMBC. Температуры плавления измерены укороченными термометрами Аншютца в специальном блоке с использованием капилляров.

Ионную жидкость $\mathit{fuc}[$ (трифторметил)сульфонил]имид 1-бутил-3-метилимидазолия (bmimTf₂N) (Merck) и литиевую соль $\mathit{fuc}[$ (трифторметил) сульфонил]имида (LiTf₂N) (Sigma-Aldrich) использовали без дополнительной очистки. В качестве органических растворителей применяли 1,2-дихлорэтан, нитробензол и opmo -ксилол марки "х. ч." или "ч. д. а." Растворы экстрагентов готовили по точной навеске.

Исходные водные растворы U(VI), Th(IV) и P3 \Re (III) готовили растворением соответствующих нитратов в воде с последующим добавлением HNO₃ до требуемой концентрации. Исходная концентрации ионов металлов составляла 2×10^{-6} моль/л.

Контакт фаз осуществляли при комнатной температуре на аппарате для перемешивания со скоростью 60 об/мин в течение 1 ч, что достаточно для установления постоянных значений коэффициентов распределения.

Концентрацию РЗЭ(III), U(VI) и Th(IV) в исходных и равновесных водных растворах определяли методом масс-спектрометрии с ионизацией пробы в индуктивно-связанной плазме (ИСП-МС) с использованием масс-спектрометра X-7 (Thermo Scientific, США). Содержание ионов металлов в органической фазе определяли после реэкстракции раствором 0.1 моль/л оксиэтилидендифосфоновой кислоты. Коэффициенты распределения ионов металлов (*D*) рассчитывали как отношение их концентраций в равновесных органической и водной фазах. Погрешность определения коэффициентов распределения не превышала 5%.

Концентрацию HNO_3 в равновесной водной фазе определяли потенциометрическим титрованием раствором NaOH, в органической фазе — аналогичным образом после реэкстракции HNO_3 водой. Параллельно определяли содержание HNO_3 в органической фазе в процессе экстракции кислоты чистым дихлорэтаном (холостой опыт). Эти результаты учитывали при расчете общей концентрации комплексов HNO_3 с экстрагентом в ор-

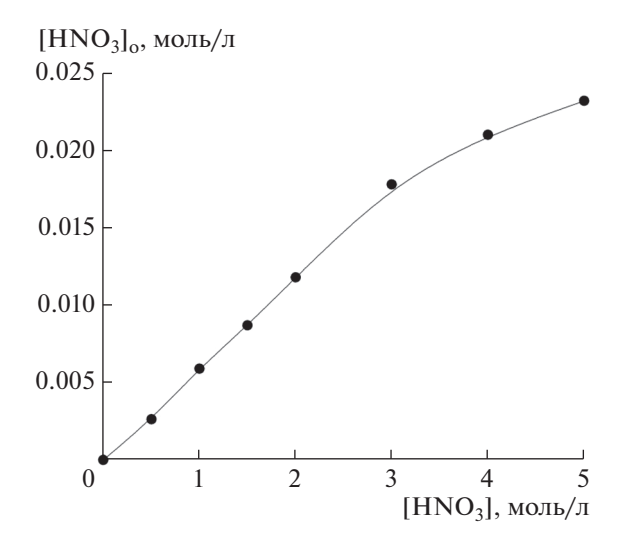


Рис. 1. Экстракция азотной кислоты растворами 0.01 моль/л соединения **I6** в дихлорэтане.

ганической фазе. Концентрацию ионов Tf_2N^- в равновесной водной фазе определяли атомно-эмиссионным методом с ионизацией пробы в индуктивно-связанной плазме с использованием спектрометра iCAP-6500 Duo (Thermo Scientific, США).

РЕЗУЛЬТАТЫ И ОБСУЖДЕНИЕ

Процесс экстракции ионов металлов из азотнокислых растворов нейтральными фосфорорга-

ническими соединениями сопровождается взаимодействием HNO_3 с экстрагентом. Поэтому предварительно исследована экстракция HNO_3 раствором соединения I6. Данные по распределению HNO_3 между ее водными растворами и раствором экстрагента I6 в дихлорэтане (рис. 1) указывают на то, что при $[HNO_3] > 2.5$ моль/л отношение концентрации HNO_3 , связанной в комплексы с экстрагентом, и исходной концентрации экстрагента в органической фазе >2. Полагая, что в органическую фазу переходят комплексы экстрагента (L) с одной, двумя и тремя молекулами азотной кислоты, процесс экстракции HNO_3 может быть описан уравнением:

$$i\left(\mathbf{H}^{+} + \mathbf{NO}_{3}^{-}\right)_{(\mathbf{B})} + \mathbf{L}_{(\mathbf{o})} \rightleftharpoons \left(\mathbf{HNO}_{3}\right)_{i} \mathbf{L}_{(\mathbf{o})},$$
 (1)

где буквы (в) и (о) обозначают компоненты водной и органической фаз соответственно; i=1,2,3- число молекул HNO₃ в экстрагируемом сольвате. Эффективные константы экстракции HNO₃ (K_1 , K_2 и K_3) выражаются как

$$K_i = [(HNO_3)_i L]/[L]a^i, \qquad (2)$$

где a — активность $\mathrm{HNO_3}$ в равновесной водной фазе ($a = [\mathrm{H^+}] [\mathrm{NO_3^-}] \gamma_\pm^2$); $[\mathrm{L}]$ — равновесная концентрация свободного экстрагента в органической фазе. Значения K_1 , K_2 и K_3 рассчитаны нелинейным методом наименьших квадратов с использованием уравнения:

$$y/[L]_{(\mu \in X)} = (K_1 a + 2K_2 a^2 + 3K_3 a^3)/(1 + K_1 a + K_2 a^2 + K_3 a^3),$$
 (3)

где y — общая концентрация комплексов HNO₃ с экстрагентом в органической фазе, $[L]_{(\text{исх})}$ — исходная концентрация экстрагента. Ниже приведены эффективные константы экстракции HNO₃ растворами соединений **I6** (K_1 , K_2 K_3) и (для сравнения) КМФО **II** (K_1 и K_2) в дихлорэтане:

Соединение
$$K_1$$
 K_2 K_3 I6 2.23 \pm 0.11 0.368 \pm 0.03 0.018 \pm 0.002 II [15] 1.01 0.0339 —

Видно, что соединение **I6** обладает более высокой экстракционной способностью по отношению к HNO_3 по сравнению с $KM\Phi O$ **II**. Это связано с увеличением числа донорно-активных групп в его молекуле, что приводит к более заметному снижению концентрации свободного экстрагента в органической фазе, чем в системе с $KM\Phi O$ **II**.

Рассмотрено влияние концентрации HNO₃ в равновесной водной фазе на изменение величи-

ны коэффициентов распределения U(VI), Th(IV) и РЗЭ(III) при экстракции раствором соединения **Іб** в дихлорэтане (рис. 2). Увеличение [HNO_3] сопровождается ростом значений $D_{\rm U}$ и $D_{\rm Th}$, что соответствует экстракции этих ионов в виде координационно-сольватированных нитратов [20]. Аналогичный характер зависимости D_U -[HNO₃] отмечался при экстракции растворами КМФО II [10]. При изучении влияния концентрации HNO₃ в водной фазе на экстракцию РЗЭ(III) раствором соединения Іб в дихлорэтане получена зависимость $D_{I,n}$ -[HNO₃] с максимумом для легких РЗЭ(III) (рис. 2). Такая зависимость соответствует экстракции координационно-сольватированных нитратов РЗЭ(III) и связана с высаливающим действием ионов NO₃ и связыванием экстрагента азотной кислотой, а также изменением коэффициентов активности нитратов РЗЭ(III) в зависимости от [HNO₃]. Положение максимума на кривой зависимости $D_{I,n}$ -[HNO₃] смещается в область большей кислотности водной фазы по

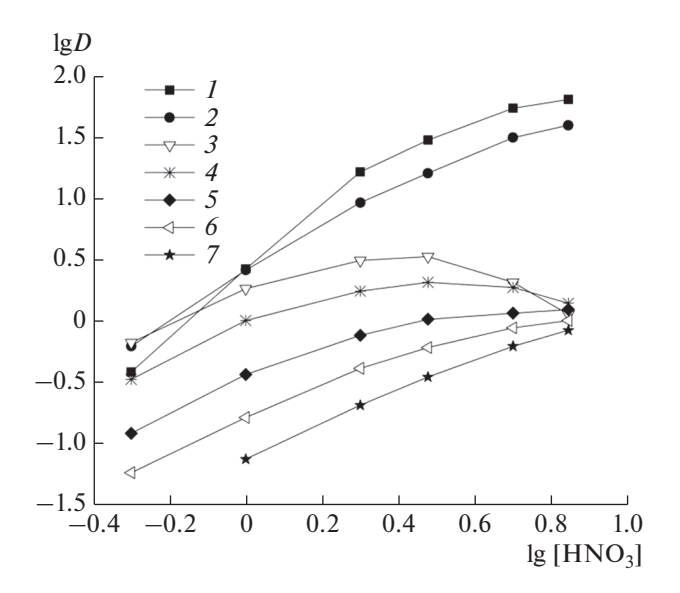


Рис. 2. Зависимость коэффициентов распределения Th (*1*), U (*2*), Pr (*3*), Eu (*4*), Dy (*5*), Er (*6*) и Lu (*7*) от концентрации HNO₃ в водной фазе при экстракции растворами 0.01 (*1*–2) и 0.05 моль/л (*3*–7) соединения **16** в дихлорэтане.

мере увеличения атомного номера (Z) РЗЭ. При экстракции Dy(III)—Lu(III) наблюдается увеличение $D_{\rm Ln}$ во всем исследованном интервале концентраций HNO₃ (рис. 2). Аналогичный характер зависимости $D_{\rm Ln}$ —[HNO₃] отмечался при экстракции РЗЭ(III) растворами КМФО [21].

Стехиометрическое соотношение металл: экстрагент в экстрагируемых комплексах определено методом сдвига равновесия. Угловой наклон зависимостей $\lg D - \lg[L]$ равен 1.41 \pm 0.05, 1.65 \pm 0.05 и 2.01 ± 0.05 при экстракции ионов U(VI), Th(IV) и РЗЭ(III) соответственно (рис. 3), что указывает на экстракцию U(VI) и Th(IV) из азотнокислых растворов соединением Іб в виде смеси моно- и дисольватов, а РЗЭ(III) – в форме дисольватов. Такие же стехиометрические соотношения получены при экстракции U(VI), Th(IV) и РЗЭ(III) растворами соединений Іа и Ів в дихлорэтане. В аналогичных условиях немодифицированные КМФО экстрагируют U(VI) также в виде моно- и дисольватов [10], а P3Э(III) — в форме ди- и трисольватов [21, 22].

Для сравнения экстракционной способности соединений Ia—IB и II по отношению к U(VI) и Th(IV), а также коэффициента разделения тория и урана ($\beta_{Th/U} = D_{Th}/D_U$) в табл. 1 представлены данные по экстракции U(VI) и Th(IV) из азотнокислых растворов в сопоставимых условиях. Некоторое снижение эффективности экстракции U(VI) соединениями Ia—IB по сравнению с $KM\Phi OII$ может быть связано с линейным строением катиона UO_2^{2+} , препятствующим его взаимодействию со

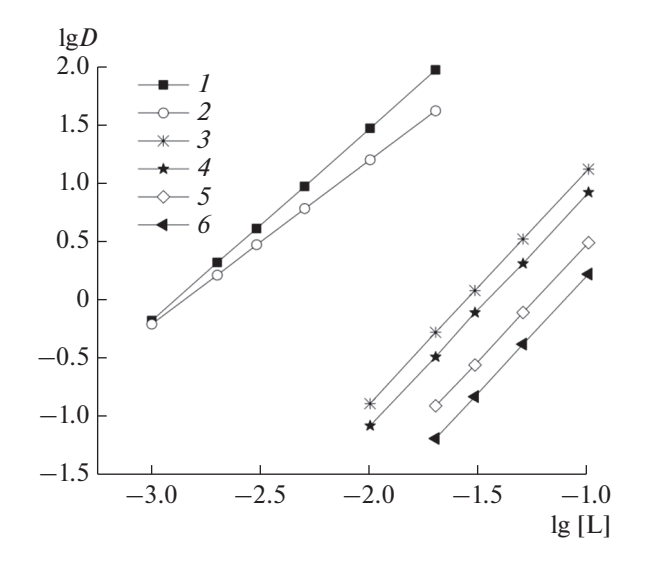


Рис. 3. Зависимость коэффициентов распределения Th (*I*), U (*2*), Pr (*3*), Eu (*4*), Ho (*5*) и Yb (*6*) от концентрации соединения **I6** в дихлорэтане при экстракции из раствора 3 моль/л HNO₃.

всеми тремя координирующими группами лигандов Ia-Ib. Значительное снижение эффективности и селективности экстракции Th(IV) соединениями Ia-Ib может быть связано со снижением донорной способности группы C=O вследствие индукционного эффекта группы $-CH_2CH_2P(O)Ph_2$. Ранее отмечалось, что введение групп $-CH_2C(O)NAlk_2$ или $-CH_2P(O)Ph_2$ в метиленовый мостик молекулы $KM\Phi O$ также приводит к снижению эффективности и селективности экстракции Th(IV) [16].

Сопоставлена эффективность экстракции $P3 \ni (III)$ растворами соединений Ia-Ib и II в дихлорэтане из раствора 3 моль/л HNO_3 . При экстракции соединениями Ia-Ib в области умеренной концентрации HNO_3 наблюдается тенденция к уменьшению D_{Ln} с увеличением Z (рис. 4). Такой же характер зависимости $D_{Ln}-Z$ отмечался ранее при экстракции $P3 \ni (III)$ растворами $KM\Phi O$ [13, 21, 22] и был объяснен увеличением энергии гидратации ионов Ln^{3+} вследствие уменьшения их ионных радиусов с возрастанием Z [13]. Из раствора 3 моль/л HNO_3 соединение I6 экстрагирует

Таблица 1. Экстракция U(VI) и Th(IV) растворами 0.002 моль/л экстрагентов в дихлорэтане из раствора 3 моль/л HNO $_3$

Экстрагент	$\lg\!D_{ m Th}$	lg $D_{ m U}$	$\beta_{Th/U}$
Ia	-0.12	-0.02	0.79
Іб	0.32	0.21	1.29
Ів	0.21	0.18	1.07
II [16]	1.7	0.32	24

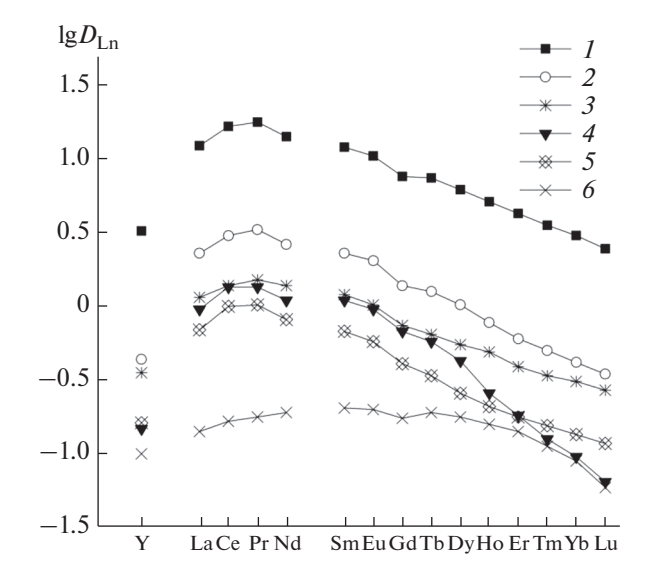


Рис. 4. Экстракция РЗЭ(III) растворами 0.05 моль/л соединений **Ia** (5), **I6** (1, 2, 6), **IB** (3) и **II** (4) в нитробензоле (1), дихлорэтане (2–5) и *орто*-ксилоле (6) из растворов 3 моль/л HNO₃.

РЗЭ(III) более эффективно, чем КМФО II (рис. 4). Одной из причин может быть участие дополнительной координирующей группы в комплексообразовании с ионами Ln³+. Однако это предположение требует проведения структурных исследований экстрагируемых комплексов. Природа алкильного заместителя при атоме азота в молекуле соединений Ia—IB оказывает заметное влияние на экстракцию ионов металлов. Более высо-

Таблица 2. Эффективные константы экстракции $P39(III)\left(\lg K_2^{Ln}\right)$ из азотнокислых растворов растворами соединения **I6** и КМФО **II** в дихлорэтане

Ln(III)	$\lg K_2^{\operatorname{Ln}}(\mathbf{I6})$	$\lg K_2^{\operatorname{Ln}}(\mathbf{II})$ [22]
La	6.03 ± 0.03	5.22
Ce	6.05 ± 0.03	5.38
Pr	6.02 ± 0.03	5.39
Nd	5.94 ± 0.03	5.26
Sm	5.92 ± 0.04	5.19
Eu	5.83 ± 0.03	5.15
Gd	5.6 ± 0.04	4.95
Tb	5.47 ± 0.03	4.75
Dy	5.32 ± 0.04	4.60
Но	5.14 ± 0.03	4.22
Er	4.88 ± 0.04	3.95
Tm	4.74 ± 0.03	3.85
Yb	4.59 ± 0.04	3.75
Lu	4.38 ± 0.03	3.55

кая экстракционная способность соединения **I6** по сравнению с **Ia** может быть связана с его более высокой липофильностью, а снижение эффективности экстракции соединением **IB** — действием стерических факторов при комплексообразовании с ионами металлов.

Процесс экстракции ионов РЗЭ(III) из растворов HNO_3 соединениями Ia-IB может быть описан уравнением:

 $Ln_{(B)}^{3+} + 3NO_{3(B)}^{-} + 2L_{(o)} \rightleftharpoons LnL_{2}(NO_{3})_{3(o)}, \quad K_{2}^{Ln}$. (4) Эффективные константы экстракции РЗЭ(III) (K_{2}^{Ln}), рассчитанные нелинейным методом наименьших квадратов с использованием уравнения:

$$D_{\rm Ln} = K_2^{\rm Ln} \left[NO_3^{-} \right]^3 \gamma_{\pm}^4 \left[L \right]_{\rm max}^2 f^{-2}, \tag{5}$$

где γ_{\pm} — коэффициент активности соответствующего нитрата P3Э(III) [23], f —поправка на связывание экстрагента азотной кислотой (f = $1 + K_1 a + K_2 a^2 + K_3 a^3$), представлены в табл. 1. Там же для сравнения приведены значения $K_2^{\rm Ln}$ для КМФО II. Видно, что по своей экстракционной способности по отношению к P3Э(III) соединение I6 превосходит КМФО II.

Природа органического растворителя оказывает существенное влияние на эффективность экстракции РЗЭ(III) соединением **I6** из азотнокислых растворов. Значения $D_{\rm Ln}$ возрастают в ряду *орто*-ксилол < дихлорэтан < нитробензол (рис. 4) по мере увеличения их полярности и сольватирующей способности, что наблюдалось и при экстракции растворами КМФО [24, 25].

Известно, что эффективность экстракции ионов металлов растворами КМФО возрастает в присутствии гидрофобных пикрат- [26], Tf_2N^- [27] и *темракис* [3,5-*бис* (трифторметил)фенил]боратанионов [28] в водной или хлорированного дикарболлида кобальта [29] и ИЖ [30—38] в органической фазе.

Эффективность экстракции РЗЭ(III) соединениями Ia-IB значительно увеличивается в присутствии ИЖ bmimTf₂N в органической фазе. Увеличение концентрации HNO₃ в водной фазе приводит к снижению величины D_{Ln} при экстракции РЗЭ(III) растворами соединений Ia-IB в присутствии ИЖ (рис. 5). Такой же характер зависимости D_{Ln} —[HNO₃] наблюдался ранее при экстракции КМФО [39] и другими нейтральными экстрагентами [40, 41] в присутствии ИЖ. Это может быть связано со снижением концентрации свободного экстрагента в равновесной органической фазе вследствие соэкстракции HNO₃ и HTf₂N [40, 41].

Стехиометрическое соотношение металл: экстрагент **Іб** в комплексах, экстрагируемых в при-

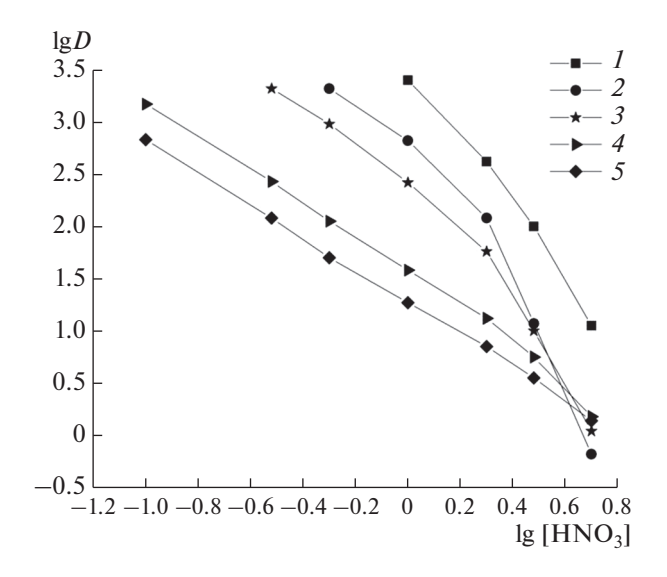


Рис. 5. Зависимость коэффициентов распределения U (1), La (2), Eu (3), Tm (4) и Lu (5) от концентрации HNO₃ в водной фазе при экстракции растворами 0.01 моль/л соединения **I**б в дихлорэтане, содержащем 0.1 моль/л bmimTf₂N.

сутствии ИЖ из раствора 3 моль/л HNO₃, определено методом сдвига равновесия. Угловой наклон зависимостей $\lg D - \lg[L]$ равен 1.61 ± 0.05 , 1.48 ± 0.05 и 2.33 ± 0.15 при экстракции U(VI), Th(IV) и P3Э(III) соответственно (рис. 6), что указывает на экстракцию ионов U(VI) и Th(IV) из азотнокислых растворов соединением **I6** в присутствии ИЖ в виде смеси моно- и дисольватов, а P3Э(III) — в виде смеси ди- и трисольватов.

Сопоставление эффективности экстракции РЗЭ(III) соединениями **I6** и КМФО **II** в присутствии ИЖ показало, что соединение **I6** экстрагирует РЗЭ(III) из растворов HNO₃ значительно более эффективно, чем КМФО **II** (рис. 7). При этом величина отношения $D_{\rm Ln}({\bf I6})/D_{\rm Ln}({\bf II})$ уменьшается с ростом концентрации HNO₃ водной фазе. Ранее было показано, что эффективность экстракции ионов металлов растворами нейтральных экстрагентов в присутствии ИЖ с анионом ${\rm Tf_2N^-}$ определяется устойчивостью комплекса ${\rm M^{n+}L_s(Tf_2N^-)_n}$ при его экстракции органическим растворителем [40, 41].

Для определения констант экстракции $P3\Theta(III)$ растворами соединения I6 в дихлорэтане из растворов, содержащих ионы Tf_2N^- , рассмотрена зависимость D_{Ln} от концентрации ионов Tf_2N^- в водной фазе при постоянной концентрации I6 в органической фазе. Угловой наклон зависимости $IgD_{Ln}-Ig[Tf_2N^-]$ близок к 3 для всех $P3\Theta(III)$, что соответствует экстракции $P3\Theta(III)$ в виде комплексов с стехиометрическим соотношением $Ln: Tf_2N^- = 1: 3$. При этом не наблюдается переход ионов лития в органическую фазу.

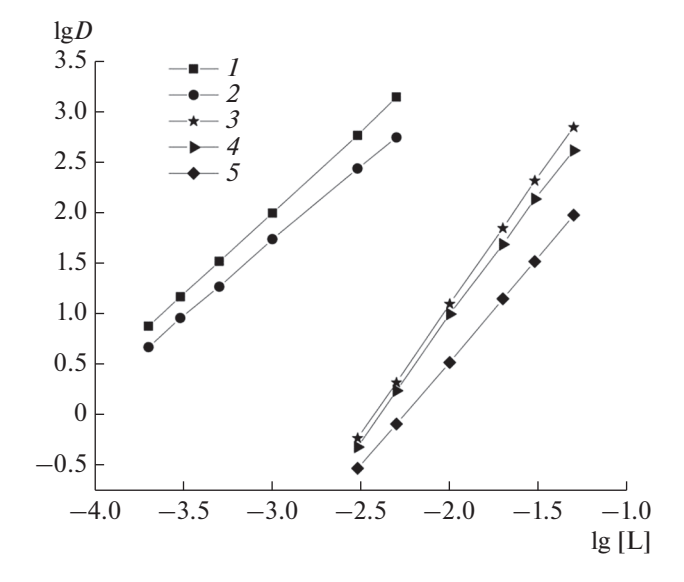


Рис. 6. Зависимость коэффициентов распределения U (1), Th (2), Ce (3), Eu (4) и Lu (5) от концентрации соединения **I6** в дихлорэтане, содержащем 0.1 моль/л bmimTf₂N, при экстракции из раствора 3 моль/л HNO₃.

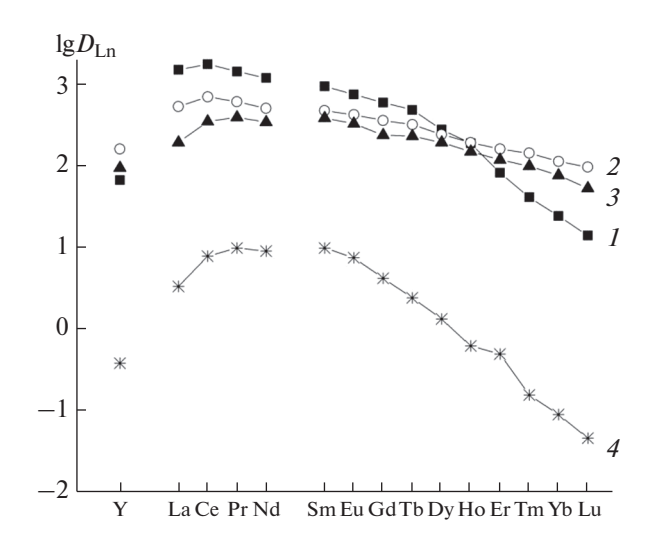


Рис. 7. Экстракция РЗЭ(III) из растворов 0.01 (*1*, *4*) и 3 моль/л (*2*, *3*) HNO₃ растворами соединений **I6** (*1*, *2*) и **II** (*3*, *4*) в дихлорэтане, содержащем bmimTf₂N. Концентрация экстрагентов **I6** и **II**, моль/л: 0.05 (*2*, *3*), 0.005 (*1*, *4*); концентрация bmimTf₂N, моль/л: 0.1 (*2*, *3*), 0.01 (*1*, *4*).

При постоянной концентрации ионов Tf_2N^- в водной фазе угловой наклон зависимостей $\lg D_{\rm Ln} - \lg[L]$ равен 2.51 ± 0.15 (рис. 8), что указывает на переход ионов РЗЭ(III) в органическую фазу в виде комплексов со стехиометрическими соотношениями РЗЭ(III) : L=1:2 и 1:3. Отметим, что в таких же условиях КМФО II экстрагирует РЗЭ(III) в форме комплексов состава 1:3 [27].

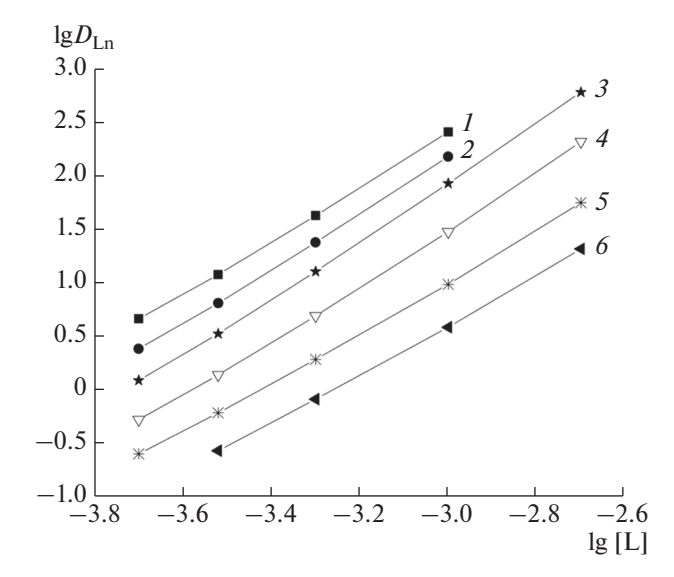


Рис. 8. Зависимость коэффициентов распределения La (*I*), Eu (*2*), Tb (*3*), Ho (*4*), Tm (*5*) и Lu (*6*) от концентрации соединения **I6** в дихлорэтане при экстракции из раствора 0.002 моль/л LiTf₂N.

Константы экстракции РЗЭ(III) соединением **I6** из водных растворов, содержащих ионы Tf_2N^- ($K_{Ln, 2}$ и $K_{Ln, 3}$), рассчитанные нелинейным методом наименьших квадратов по уравнению:

$$D_{\rm Ln} = \left[{\rm Tf_2N}^{-} \right]_{\rm (B)}^{3} \left(K_{\rm Ln,2} \left[{\rm L} \right]^{2} + K_{\rm Ln,3} \left[{\rm L} \right]^{3} \right), \tag{6}$$

представлены в табл. 3. Из полученных данных видно, что устойчивость комплексов $LnL_3(Tf_2N)_3$ для соединения **I6** значительно превышает тако-

Таблица 3. Концентрационные константы экстракции P39(III) из растворов $LiTf_2N$ ($\lg K_{Ln, 2}$ и $\lg K_{Ln, 3}$) растворами соединения **16** и КМФО **II** в дихлорэтане

Ln(III)	$\lg K_{\mathrm{Ln,3}}(\mathbf{I6})$	$\lg K_{\mathrm{Ln},2}(\mathbf{I6})$	$\lg K_{\mathrm{Ln},3}(\mathbf{II}) [27]$		
La	19.35 ± 0.03	16.01 ± 0.03	16.70 ± 0.03		
Ce	19.40 ± 0.03	16.03 ± 0.03	17.05 ± 0.03		
Pr	19.35 ± 0.03	15.98 ± 0.03	17.19 ± 0.03		
Nd	19.29 ± 0.04	15.86 ± 0.04	17.16 ± 0.03		
Sm	19.26 ± 0.04	15.78 ± 0.04	17.24 ± 0.03		
Eu	19.14 ± 0.03	15.69 ± 0.03	17.14 ± 0.03		
Gd	18.98 ± 0.04	15.54 ± 0.05	16.83 ± 0.03		
Tb	18.91 ± 0.03	15.35 ± 0.03	16.61 ± 0.03		
Dy	18.64 ± 0.04	15.18 ± 0.04	16.32 ± 0.03		
Но	18.43 ± 0.03	15.07 ± 0.03	15.96 ± 0.03		
Er	18.02 ± 0.04	14.96 ± 0.04	15.61 ± 0.03		
Tm	17.72 ± 0.03	14.86 ± 0.03	15.30 ± 0.03		
Yb	17.47 ± 0.04	14.68 ± 0.04	15.04 ± 0.03		
Lu	17.32 ± 0.03	14.52 ± 0.03	14.84 ± 0.03		

вую для КМФО II. Этим объясняются более высокие значения $D_{\rm Ln}$ при экстракции РЗЭ(III) из разбавленных растворов HNO₃ в системе с соединением I6 по сравнению с КМФО II (рис. 7). Поскольку соединение I6 экстрагирует HNO₃ и HTf₂N в большей степени, чем КМФО II, величина $D_{\rm Ln}$ (Iб)/ $D_{\rm Ln}$ (II) уменьшается с ростом [HNO₃].

ЗАКЛЮЧЕНИЕ

ФИНАНСИРОВАНИЕ РАБОТЫ

Работа выполнена в рамках государственного задания 2019 г. ИФТТ РАН, ИПТМ РАН и ИНЭОС РАН. ЯМР-исследование выполнено при поддержке Министерства науки и высшего образования Российской Федерации с использованием научного оборудования Центра исследования строения молекул ИНЭОС РАН и Центра коллективного пользования НКЦ "Курчатовский институт" — ИРЕА.

КОНФЛИКТ ИНТЕРЕСОВ

Авторы заявляют, что у них нет конфликта интересов.

СПИСОК ЛИТЕРАТУРЫ

- 1. *Myasoedov B.F., Kalmykov S.N., Kulyako Yu.M. et al.* // Geochem. Int. 2016. V. 54. № 13. P. 1156. https://doi.org/10.1134/S0016702916130115
- 2. *Alyapychev M. Yu.*, *Babain V.A.*, *Ustynyuk Yu.A.* // Russ. Chem. Rev. 2016. V. 85. № 9. P. 943. https://doi.org/10.1070/RCR4588
- Leoncini A., Huskens J., Verboom W. // Chem. Soc. Rev. 2017. V. 46. P. 7229. https://doi.org/10.1039/C7CS00574A
- Wilson A.M., Bailey P.J., Tasker P.A. // Chem. Soc. Rev. 2014. V. 43. P. 123. https://doi.org/10.1039/C3CS60275C
- Werner E.J., Biros S.M. // Org. Chem. Front. 2019. V. 6. P. 2067.
- Patterson M.G., Mulville A.K., Connor E.K. et al. // Dalton Trans. 2018. V. 47. P. 14318.
- Coburn K.M., Hardy D.A., Patterson M.G. et al. // Inorg. Chim. Acta. 2016. V. 449. P. 96.

- 8. Sartain H.T., McGraw S.N., Lawrence C.L. // Inorg. Chim. Acta. 2015. V. 426. P. 126.
- 9. Bhattacharyya A., Mohapatra P.K. // Radiochim. Acta. 2019. V. 107. P. 931.
- Чмутова М.К., Литвина М.Н., Прибылова Г.А. и др. // Радиохимия. 1999. Т. 41. № 4. С. 331.
- 11. *Медведь Т.Я., Чмутова М.К., Нестерова Н.П. и др. //* Изв. АН СССР. Сер. хим. 1981. № 9. С. 2121.
- 12. Myasoedov B.F., Chmutova M.K., Kochetkova N.E. et al. // Solv. Extr. Ion Exch. 1986. V. 4. № 1. P. 61.
- 13. Horwitz E.P., Martin K.A., Diamond H., Kaplan L. // Solv. Extr. Ion Exch. 1986. V. 4. № 3. P. 449.
- Чмутова М.К., Иванова Л.А., Кочеткова Н.Е. и др. // Радиохимия. 1995. Т. 37. № 5. С. 422.
- Чмутова М.К., Литвина М.Н., Прибылова Г.А. и др. // Радиохимия. 1995. Т. 37. № 5. С. 430.
- 16. *Туранов А.Н., Карандашев В.К., Яркевич А.Н.* // Радиохимия. 2016. Т. 58. № 4. С. 336.
- 17. Rosario-Amorin D., Ouizem S., Dickie D.A. et al. // Inorg. Chem. 2013. V. 52. P. 3063.
- 18. *Туранов А.Н., Карандашев В.К., Бондаренко Н.А.* // Радиохимия. 2006. Т. 48. № 2. С. 158.
- 19. Turanov A.N., Karandashev V.K., Sharova E.V. et al. // Solv. Extr. Ion Exch. 2010. V. 28. № 5. P. 579.
- 20. *Rozen. A.M., Krupnov B.V.* // Russ. Chem. Rev. 1996. V. 65. № 11. Р. 973. [*Розен А.М., Крупнов Б.В.* // Успехи химии. 1996. Т. 65. № 11. С. 1052.] https://doi.org/10.1070/RC1996v065n11ABEH000241
- 21. Литвина М.Н., Чмутова М.К., Мясоедов Б.Ф., Кабачник М.И. // Радиохимия. 1996. Т. 38. № 6. С. 525.
- 22. *Туранов А.Н., Карандашев В.К., Шарова Е.В. и др.* // Цветные металлы. 2012. № 3. С. 51.
- 23. *Власов В.С., Розен А.М.* // Радиохимия. 1988. Т. 30. № 1. С. 146.
- 24. Розен А.М., Никифоров А.С., Николотова З.И., Карташева Н.А. // Докл. АН СССР. 1986. Т. 286. № 3. С. 667.

- Шадрин А.Ю., Смирнов И.В., Киселева Р.Н. и др. // Радиохимия. 1993. Т. 35. № 1. С. 50.
- Naganawa H., Suzuki H., Tachimori S. et al. // Phys. Chem. Chem. Phys. 2001. V. 3. P. 2509.
- 27. *Туранов А.Н., Карандашев В.К., Яркевич А.Н.* // Радиохимия. 2018. Т. 60. № 2. С. 153.
- 28. Suzuki H., Naganawa H., Tachimori S. // Phys. Chem. Chem. Phys. 2003. V. 5. P. 726.
- 29. *Rais J., Tachimori S.* // J. Radioanal. Nucl. Chem. Lett. 1994. V. 188. № 2. P. 157.
- Visser A.E., Rogers R.D. // J. Solid State Chem. 2003.
 V. 171. P. 109.
- 31. Dietz M.L. // Sep. Sci. Technol. 2006. V. 41. P. 2047.
- 32. *Nakashima K., Kubota F., Maruyama T., Goto M.* // Anal. Sci. 2003. V. 19. P. 1097. https://doi.org/10.2116/analsci.19.1097
- 33. *Kolarik Z.* // Solv. Extr. Ion Exch. 2013. V. 31. P. 24. https://doi.org/10.1080/07366299.2012.700589
- 34. *Billard I.* // Handbook on the Physics and Chemistry of Rare Earths. 2013. V. 43. Chapter 256. P. 213.
- 35. *Shkrob I.A., Marin T.W., Jensen M.P.* // Ind. Eng. Chem. Res. 2014. V. 53. P. 3641. https://doi.org/10.1021/ie4036719
- Mohapatra P.K. // Chem. Prod. Proc. Model. 2015.
 V. 10. P. 135.
- 37. Gupta N.K. // J. Mol. Liq. 2018. V. 269. P. 72.
- 38. *Hawkins C.A., Momen M.A., Dietz M.L.* // Sep. Sci. Technol. 2018. V. 53. P. 1820. https://doi.org/1080/01496395.2017.1302478
- 39. *Туранов А.Н., Карандашев В.К., Яркевич А.Н.* // Радиохимия. 2013. Т. 55. № 4. С. 314.
- 40. Turanov A.N., Karandashev V.K., Boltoeva M. et al. // Sep. Purif. Technol. 2016. V. 164. P. 97.
- 41. *Turanov A.N., Karandashev V.K., Baulin V.E. et al.* // Russ. J. Inorg. Chem. 2019. V. 64. № 10. P. 1297. https://doi.org/10.1134/S0036023619100164